

SÍNTESE E CARACTERIZAÇÃO DE CaZrO_3 E BaZrO_3 NANOESTRUTURADOS

Amanda Laura Ibiapino e Laysa Pires de Figueiredo

Departamento de Química, Instituto de Ciências Exatas e da Terra, Universidade Federal do Mato Grosso, 78060-900 Cuiabá-MT, Brasil

Gustavo E. Lascalea

LISAMEN/CONICET, Av. Dr. Ruiz Leal s/n, Parque Gral. San Martín, Ciudad de Mendoza, 5500, Argentina

Rogério Junqueira Prado*

Instituto de Física, Universidade Federal do Mato Grosso, 78060-900 Cuiabá - MT, Brasil

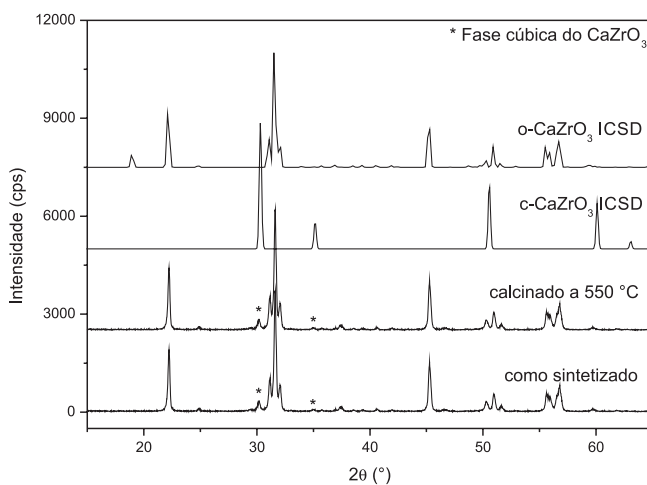


Figura 1S. Difratogramas de raios X das amostras de CaZrO_3 como sintetizada e calcinada a $550\text{ }^\circ\text{C}$. Os asteriscos indicam picos da fase cúbica do CaZrO_3 , enquanto que os demais picos são da fase ortorrômbica majoritária. Os difratogramas dos padrões, conforme cartões presentes na base de dados do ICSD, são também ilustrados na figura

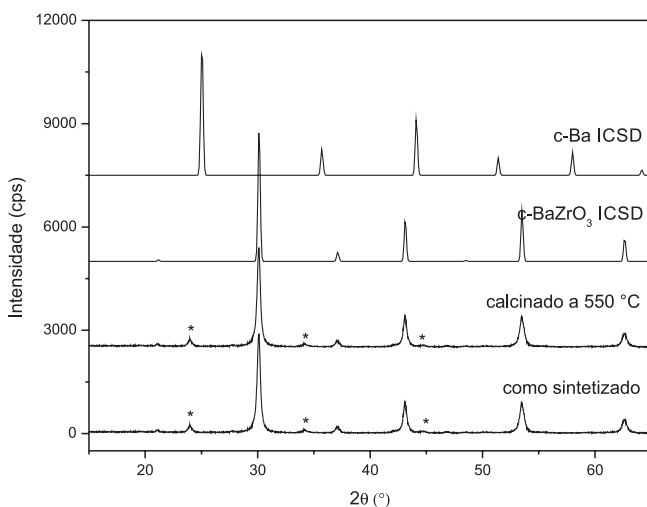


Figura 2S. Difratogramas de raios X das amostras de BaZrO_3 como sintetizada e calcinada a $550\text{ }^\circ\text{C}$. Os asteriscos indicam os picos referentes à fase ortorrômbica do BaCO_3 , enquanto que os demais picos são da fase cúbica do BaZrO_3 . Os difratogramas dos padrões, conforme cartões presentes na base de dados do ICSD, são também ilustrados na figura